

図 2 . 1 表層地盤モデル作成の流れ

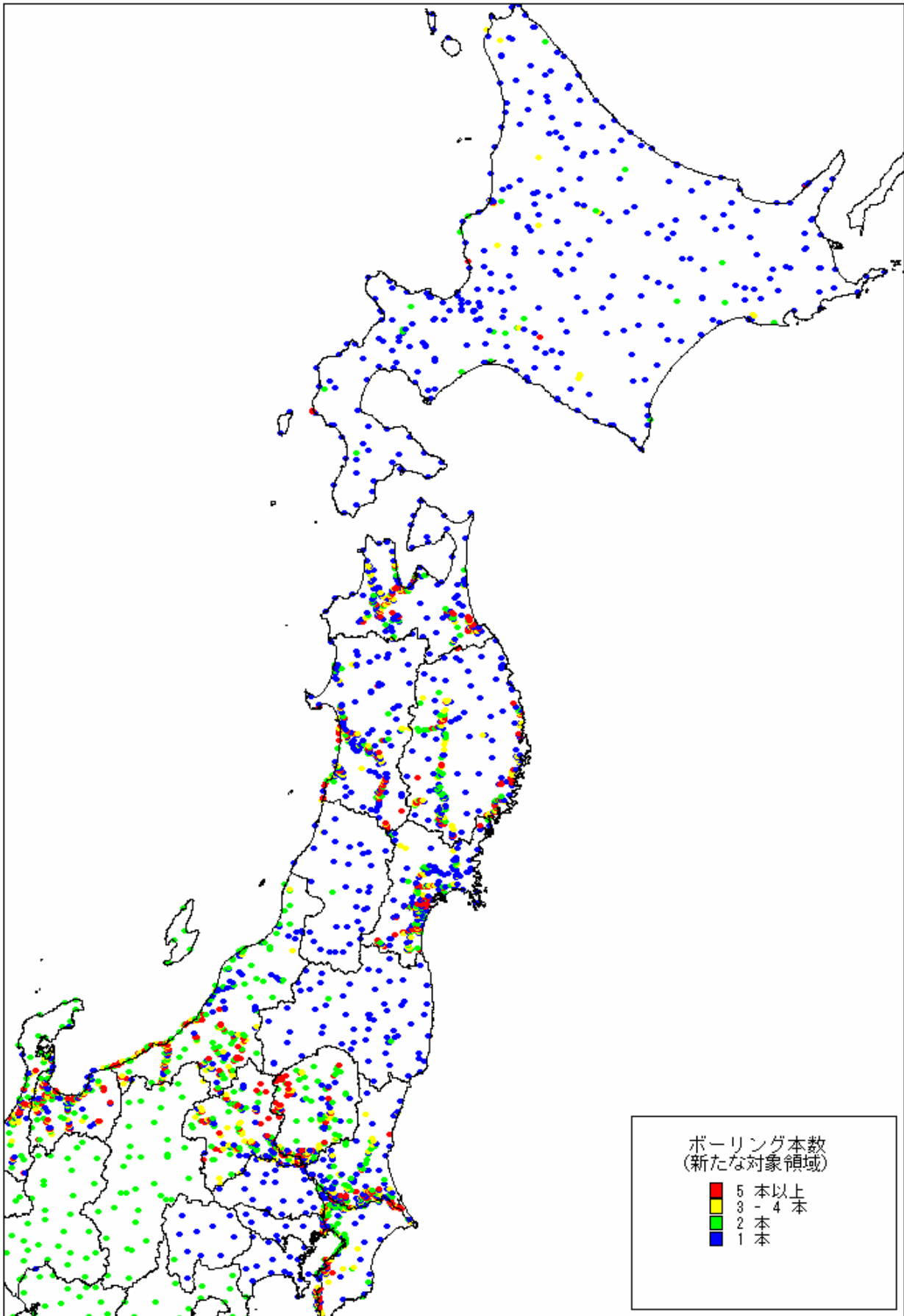


図 2 . 2 検討範囲の PS 検層を有するボーリング本数

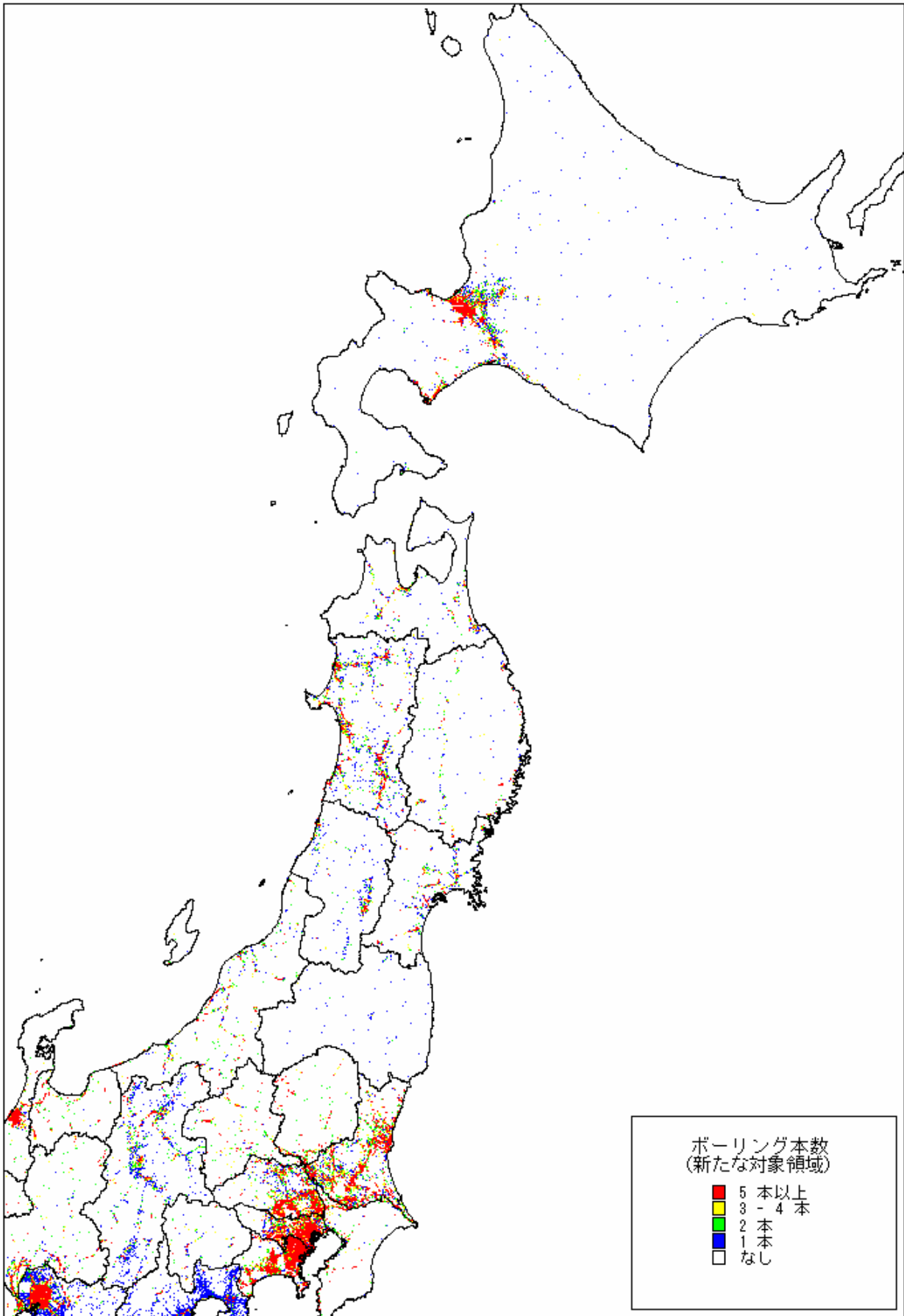


図 2 . 3 検討範囲のボーリング本数

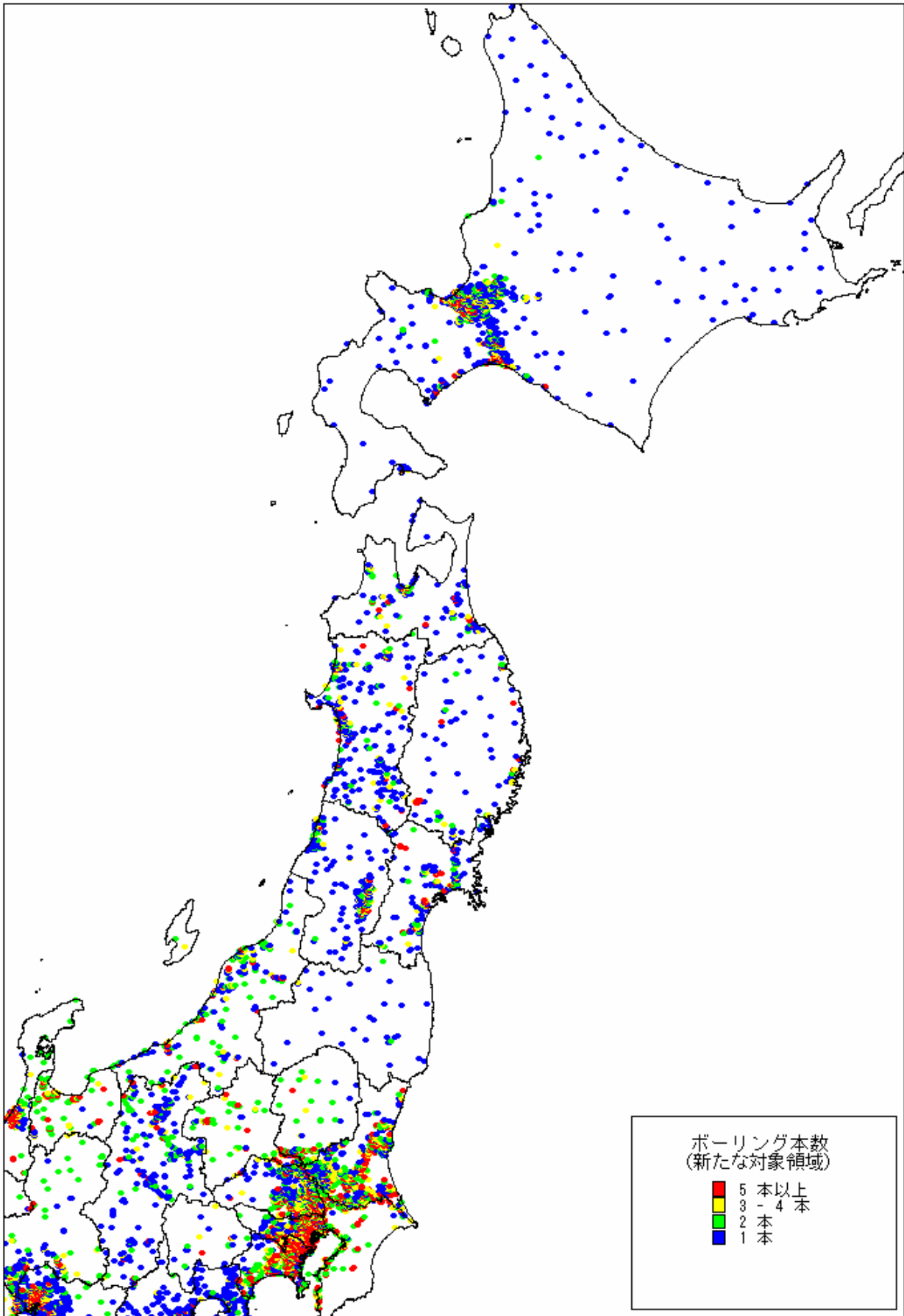


図 2 . 4 検討範囲のボーリング本数 (掘進長 30m 以上)

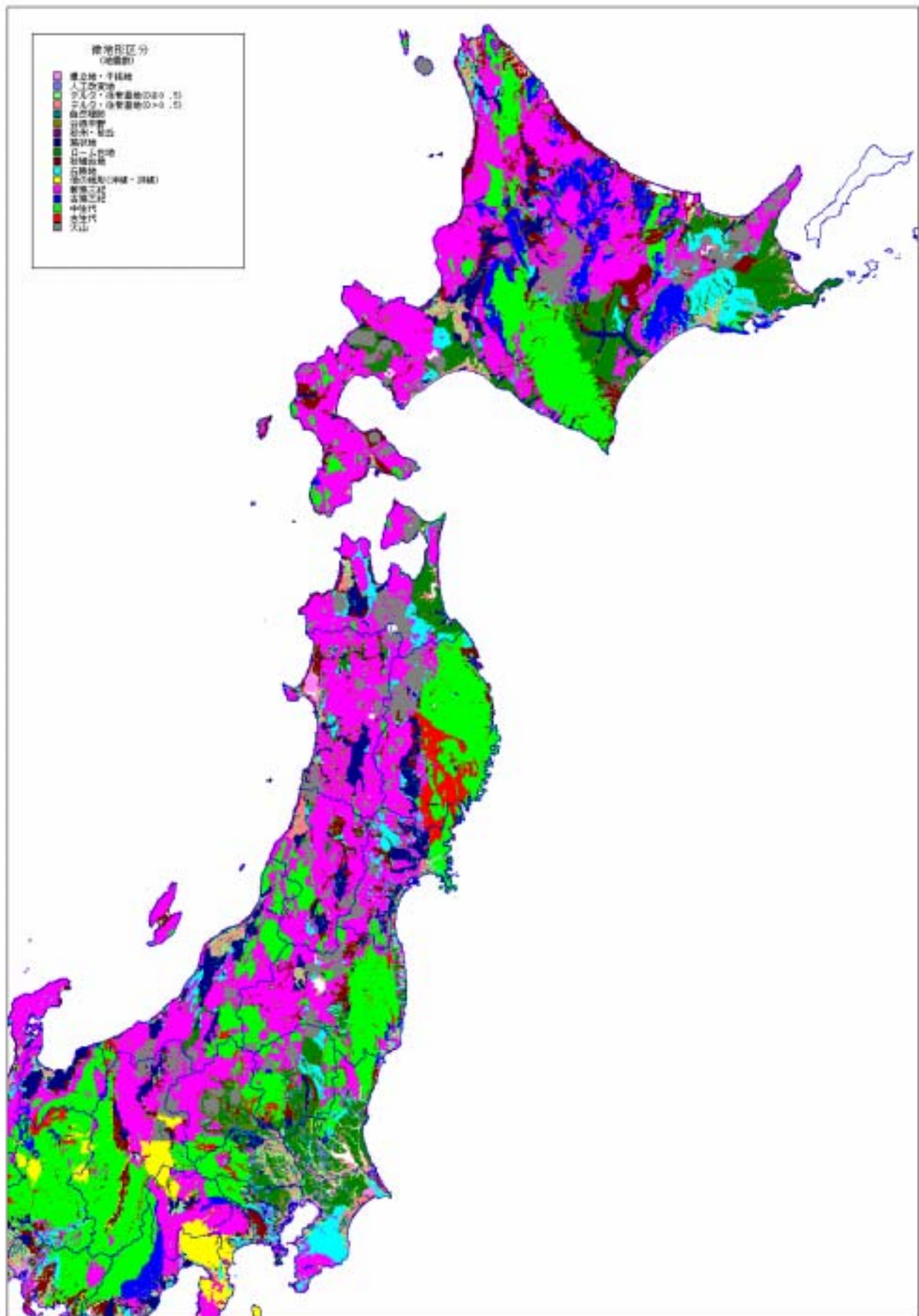


図 2 . 5 検討範囲の微地形区分

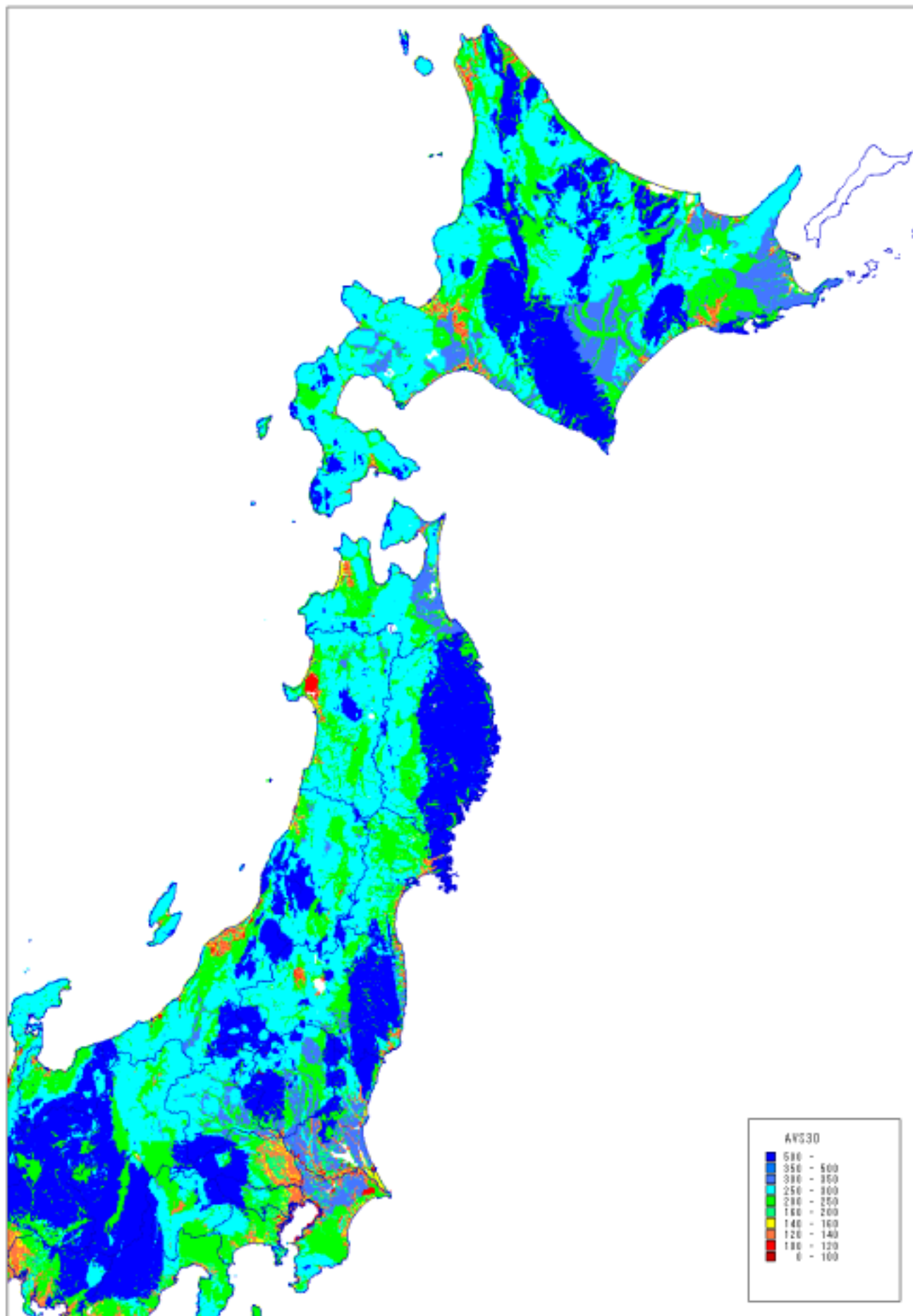


図 2 . 6 検討範囲の微地形区分およびボーリングデータから求めた AVS30



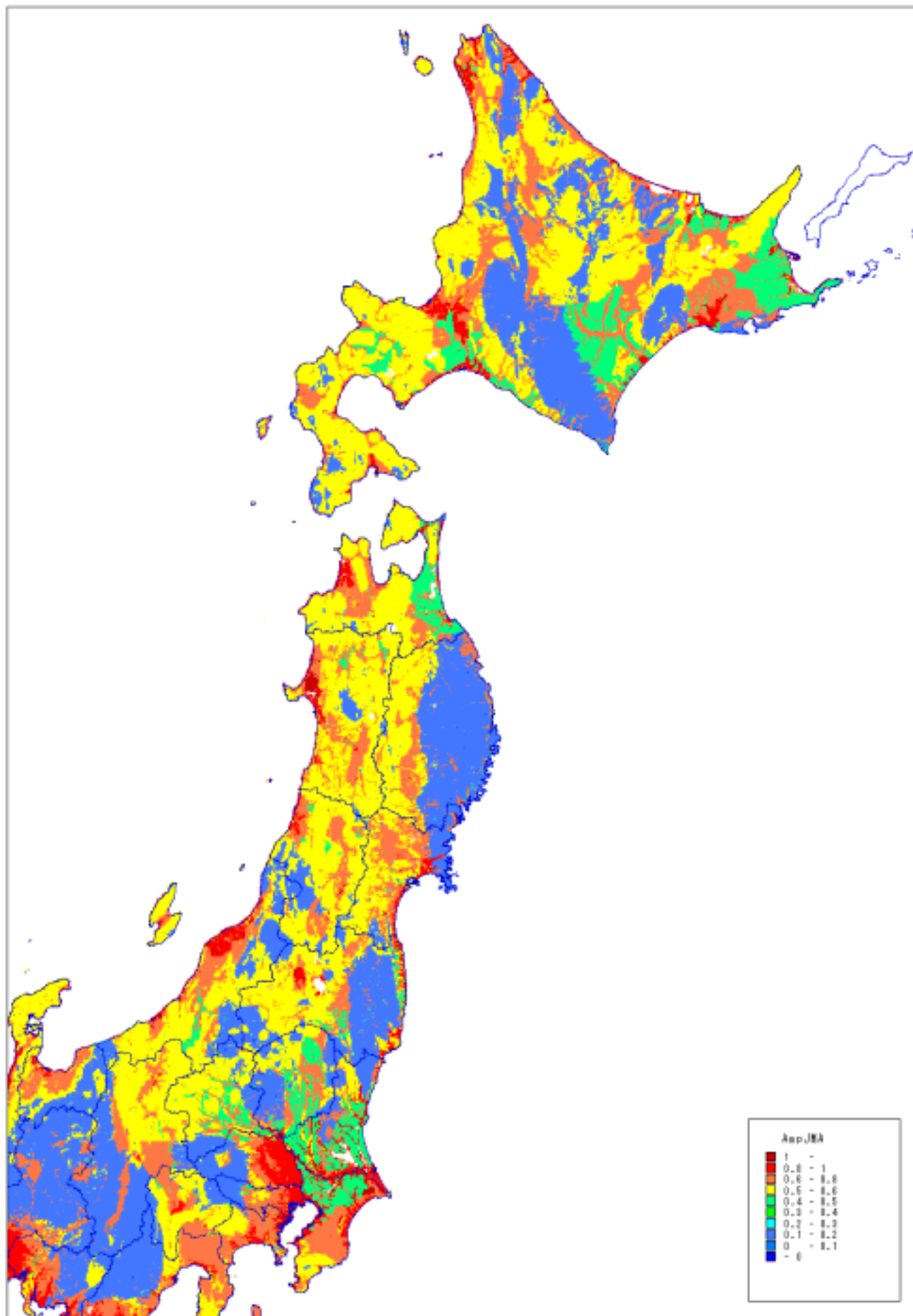


図 2 . 7 検討範囲の微地形区分およびボーリングデータから求めた速度増幅率

表 2 . 1 微地形区分ごとの平均 S 波速度 ( AVS ) の経験式の係数一覧表

[  $\mu$  式 ]

コード	微地形区分	a	b	c		
3 ~ 5	古生代・中生代・古第三紀	2.90	0.00	0.00	0.15	
6	新第三紀	2.53	0.00	0.00	0.07	
7	他の地形	2.20	0.13	0.00	0.15	200 < AVS < 350
8	丘陵地	2.51	0.00	0.00	0.16	
9	砂礫台地	2.48	0.00	0.00	0.14	
1 0	ローム台地	2.09	0.23	0.00	0.10	200 < AVS < 400
1 1	扇状地	2.49	0.00	0.00	0.10	
1 2	砂州・砂丘	2.31	0.00	0.00	0.12	
1 3	谷底平野	2.08	0.19	0.00	0.15	162 < AVS < 300
1 4	自然堤防	2.06	0.26	0.00	0.14	162 < AVS < 400
1 5	後背湿地・デルタ ( D > 0.5 )	2.27	0.00	0.19	0.13	AVS < 250
1 6	後背湿地・デルタ ( D 0.5 )	2.21	0.00	0.00	0.11	
1 7	人工改変地	2.39	0.00	0.00	0.14	
1 8	埋立地・干拓地	2.23	0.00	0.00	0.19	
2 1	火山	2.20	0.13	0.00	0.15	200 < AVS < 350

[ - 式 ]

コード	微地形区分	a	b	c		
3 ~ 5	古生代・中生代・古第三紀	2.75	0.00	0.00		
6	新第三紀	2.46	0.00	0.00		
7	他の地形	2.05	0.13	0.00	145 < AVS < 250	
8	丘陵地	2.35	0.00	0.00		
9	砂礫台地	2.34	0.00	0.00		
1 0	ローム台地	1.99	0.23	0.00	160 < AVS < 320	
1 1	扇状地	2.39	0.00	0.00		
1 2	砂州・砂丘	2.19	0.00	0.00		
1 3	谷底平野	1.93	0.19	0.00	125 < AVS < 210	
1 4	自然堤防	1.92	0.26	0.00	125 < AVS < 290	
1 5	後背湿地・デルタ ( D > 0.5 )	2.14	0.00	0.19	AVS < 200	
1 6	後背湿地・デルタ ( D 0.5 )	2.10	0.00	0.00		
1 7	人工改変地	2.25	0.00	0.00		
1 8	埋立地・干拓地	2.04	0.00	0.00		
2 1	火山	2.05	0.13	0.00	145 < AVS < 250	

$$\log AVS = a + b \log H + c \log D \pm$$

AVS : 地表から深さ 30m までの平均 S 波速度

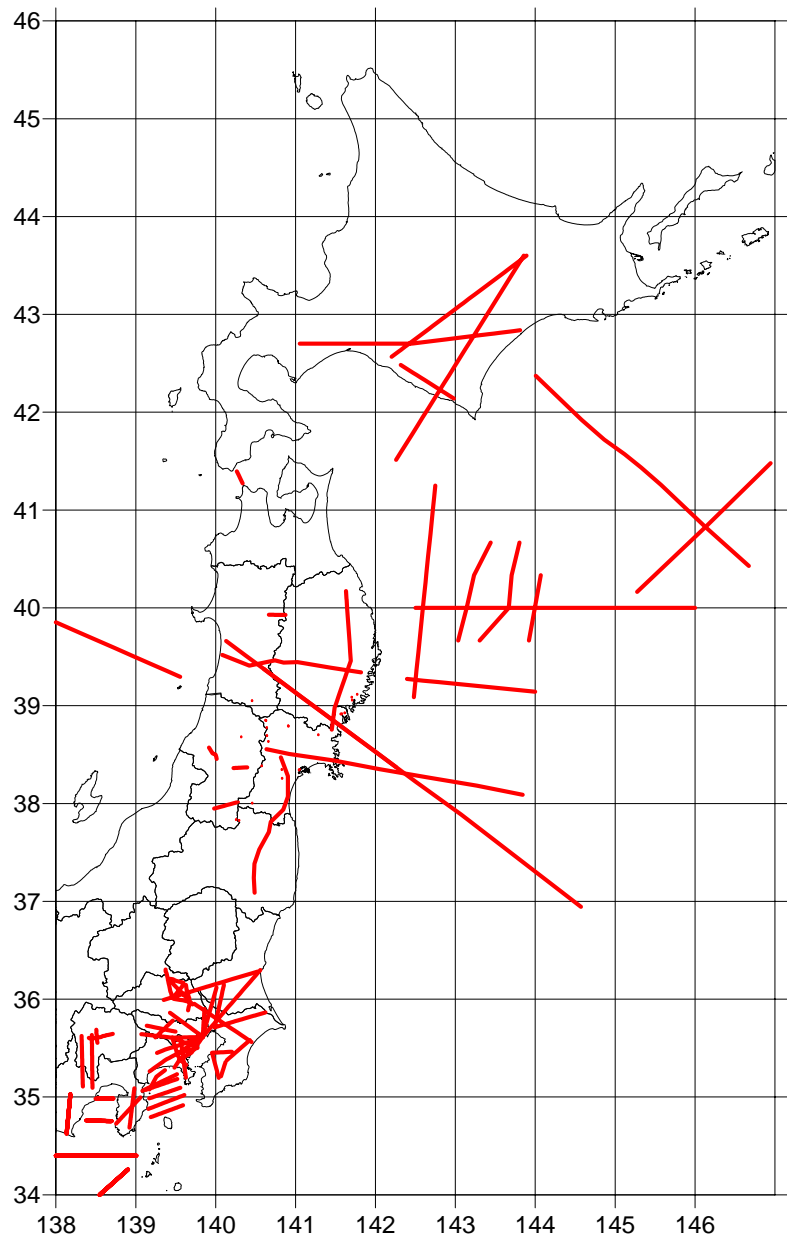
H : 標高 ( m )

D : 主要河川からの距離 ( k m )

: 標準偏差

a, b, c : 微地形区分ごとに与えられる回帰係数





南北折面 表示範囲138~X~150

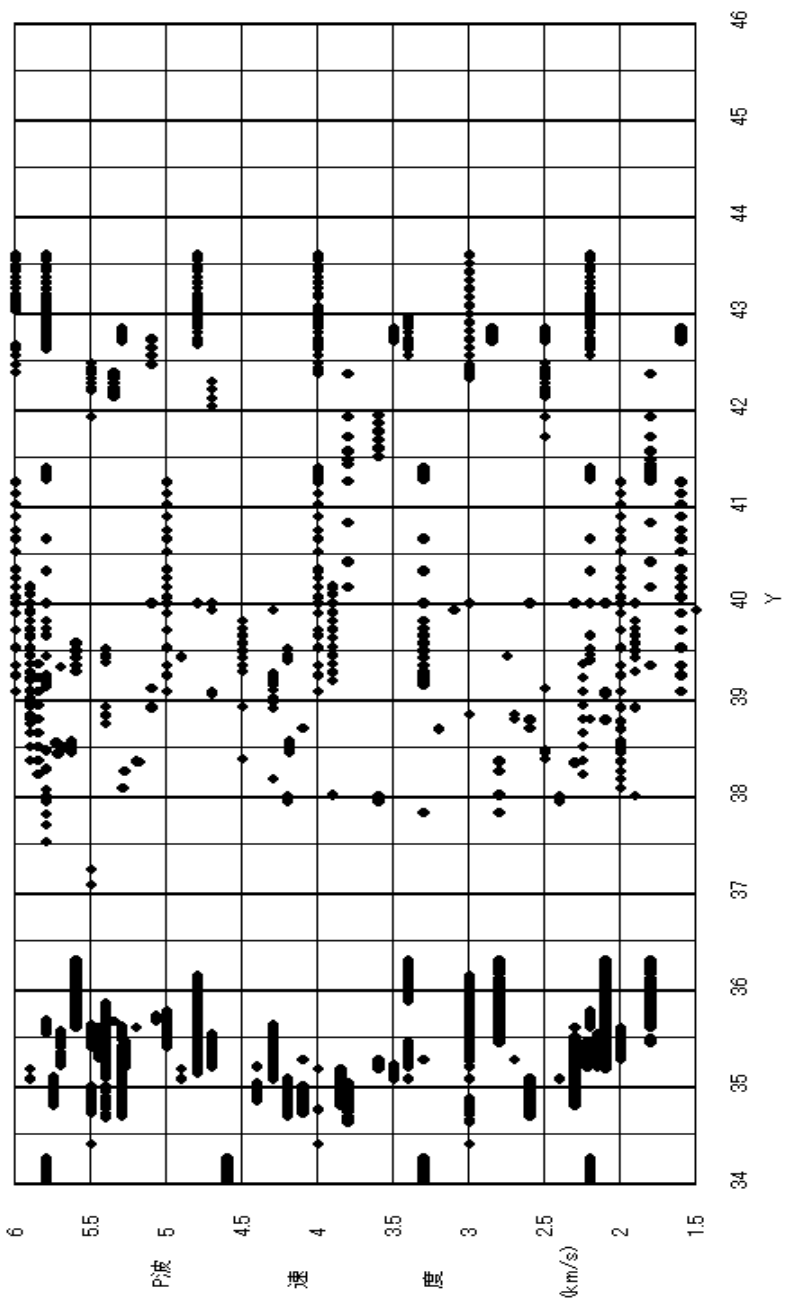


图 2 . 8 屈折法地震探査測線位置図と P 波速度分布図

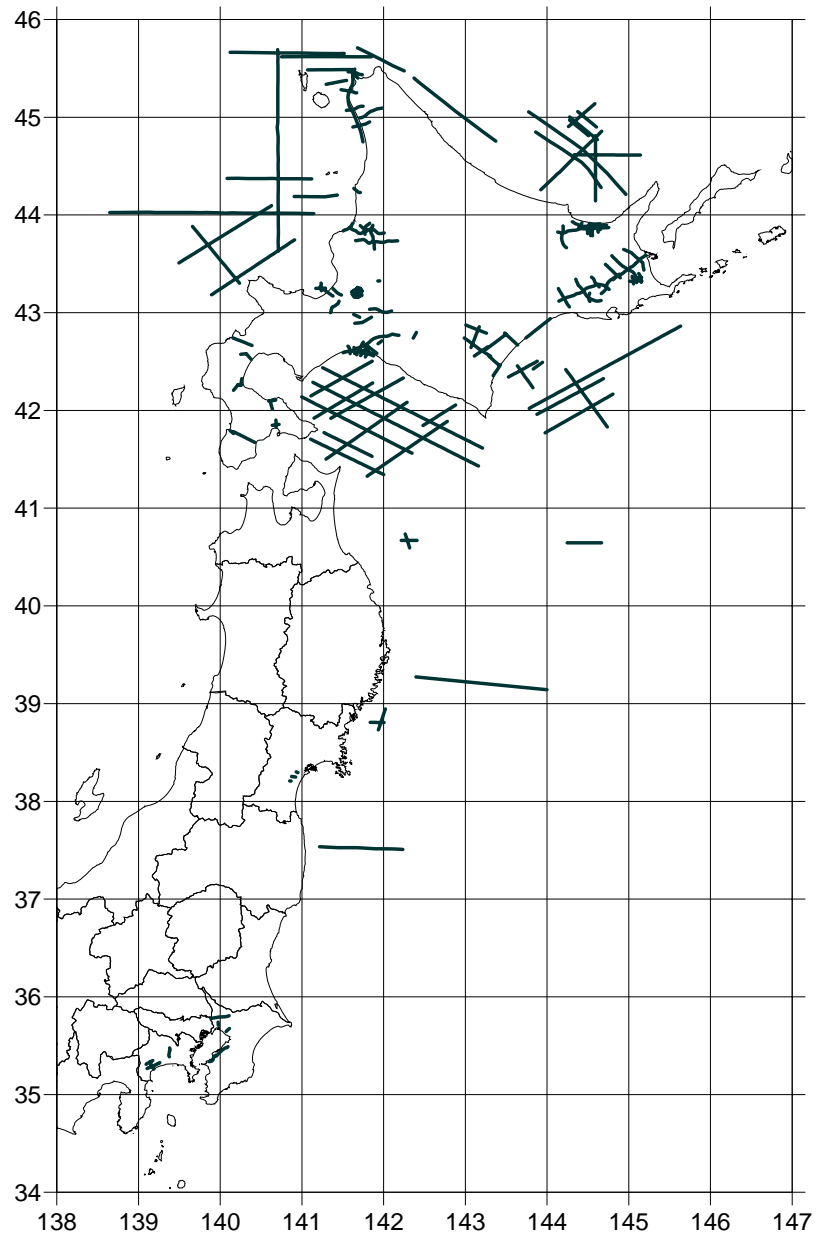


図 2 . 9 反射法地震探査測線位置図

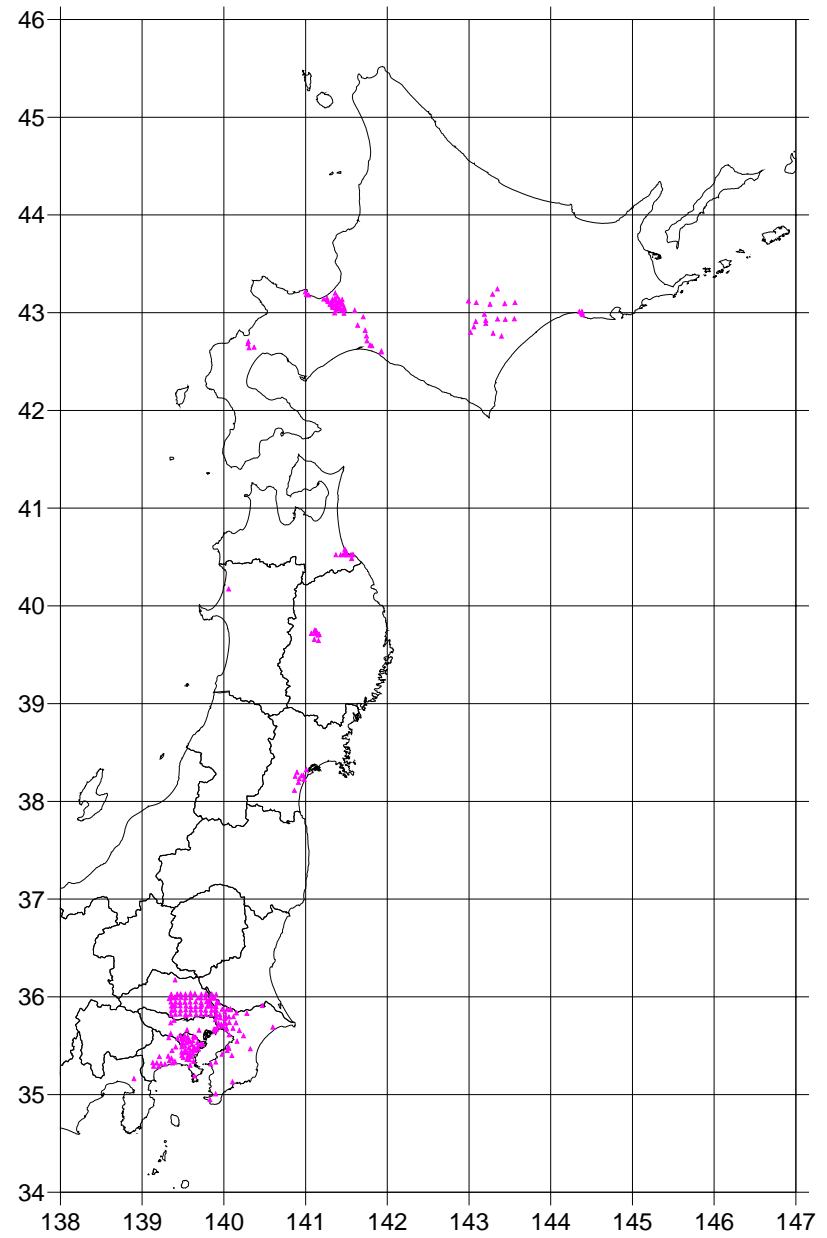


図 2 . 1 0 微動アレイ探査測点位置図

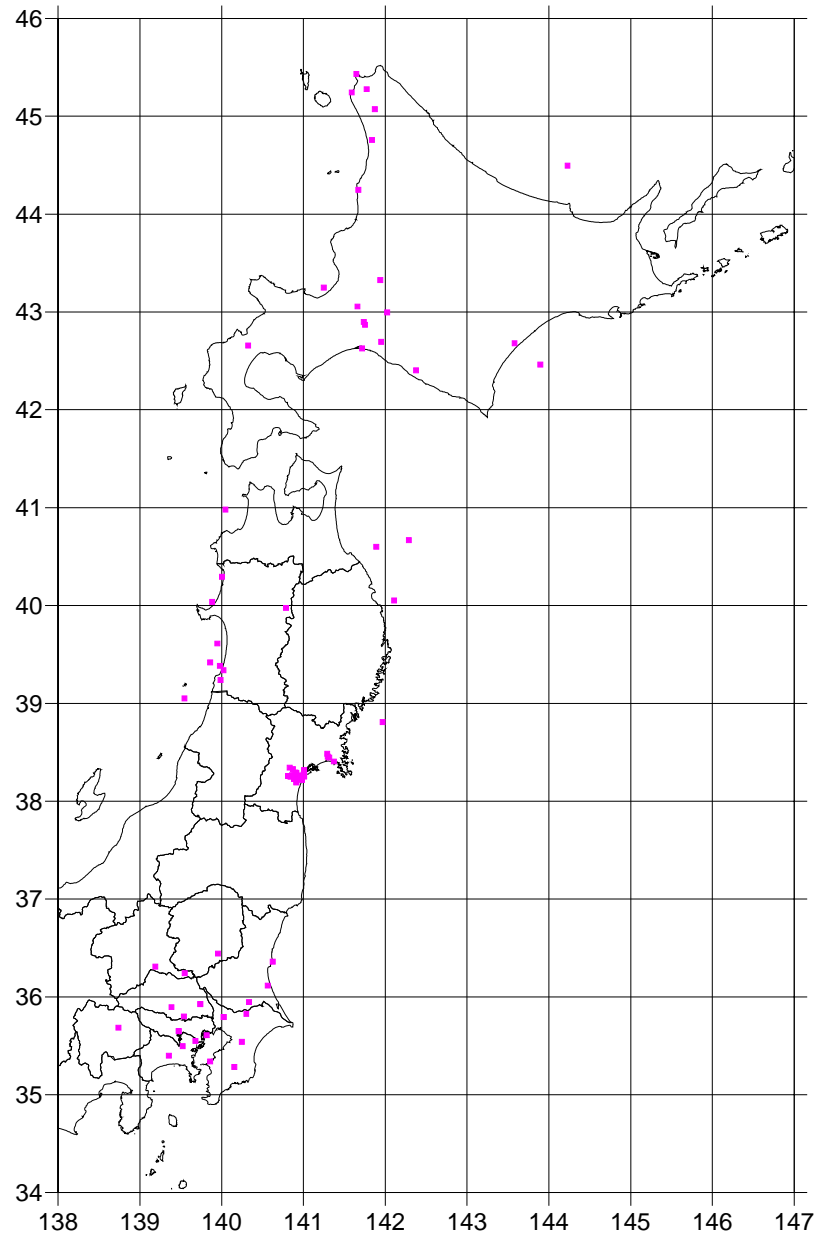


図 2 . 1 1 深層ボーリング地点

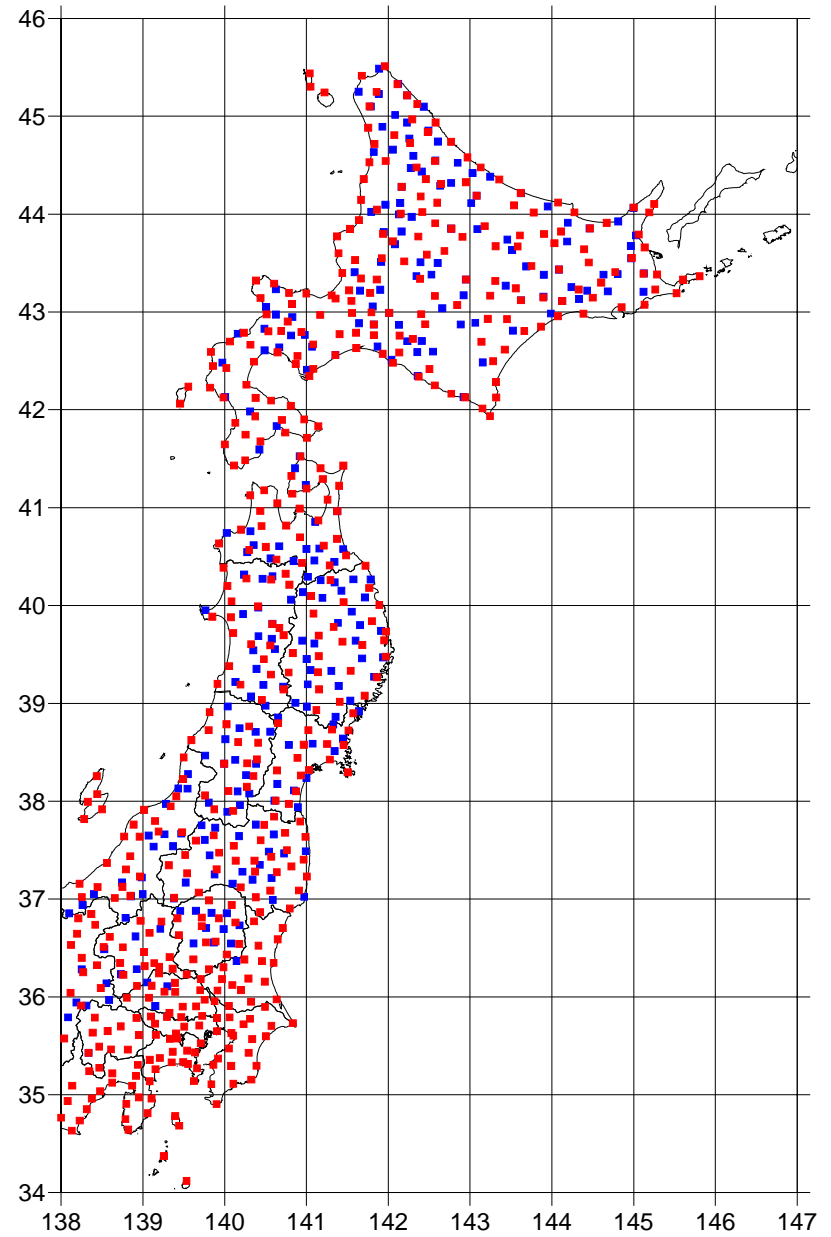


図 2 . 1 2 K-net 観測点(赤) , KiK-net 観測点(青)

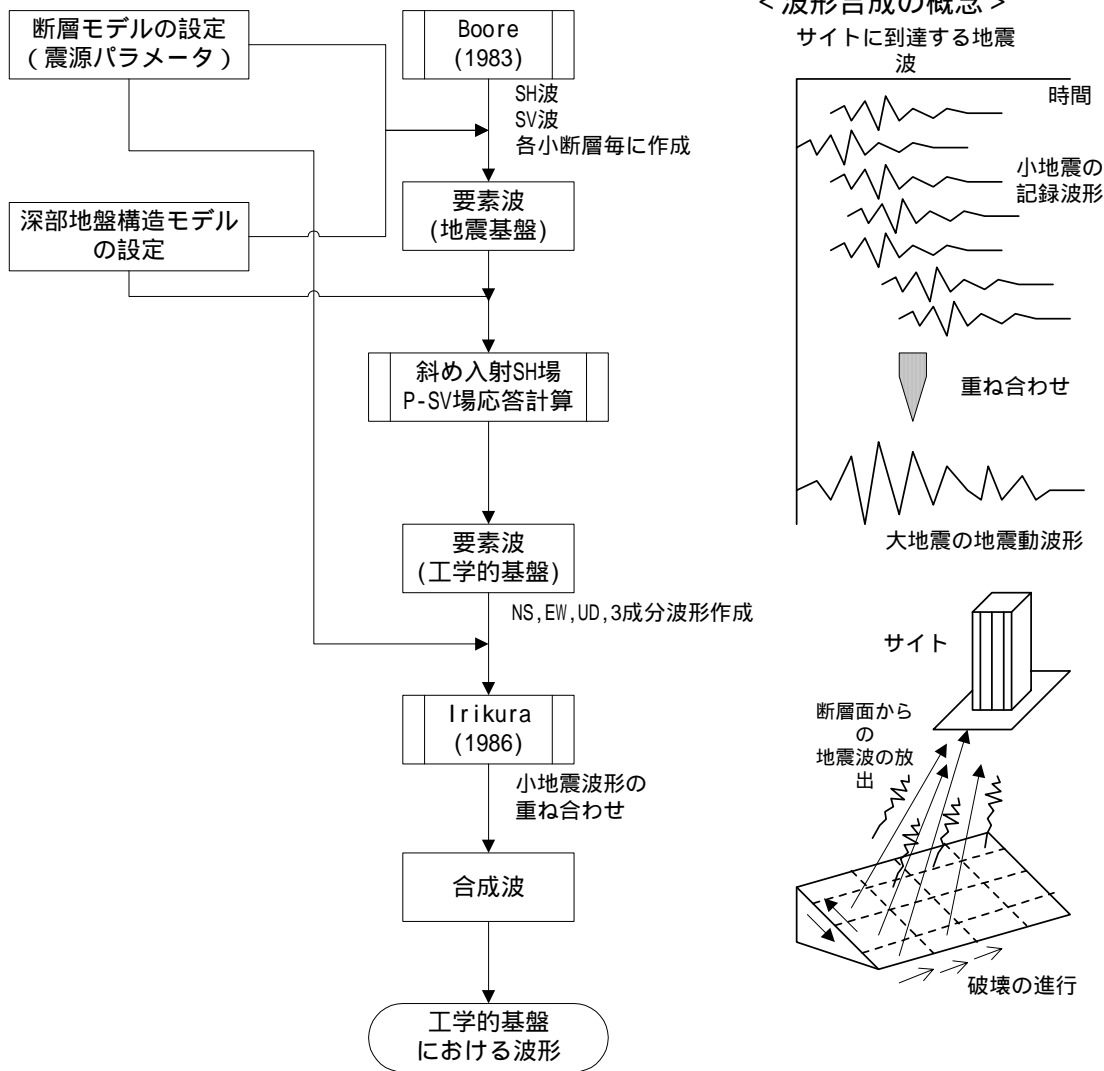


図 2 . 1 3 統計的グリーン関数法を用いた工学的基盤波の作成